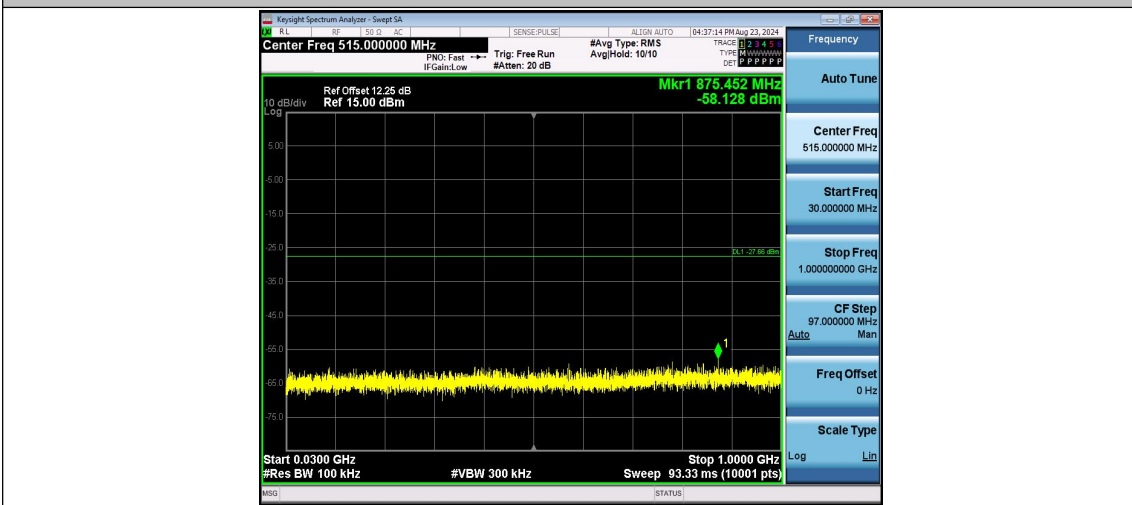
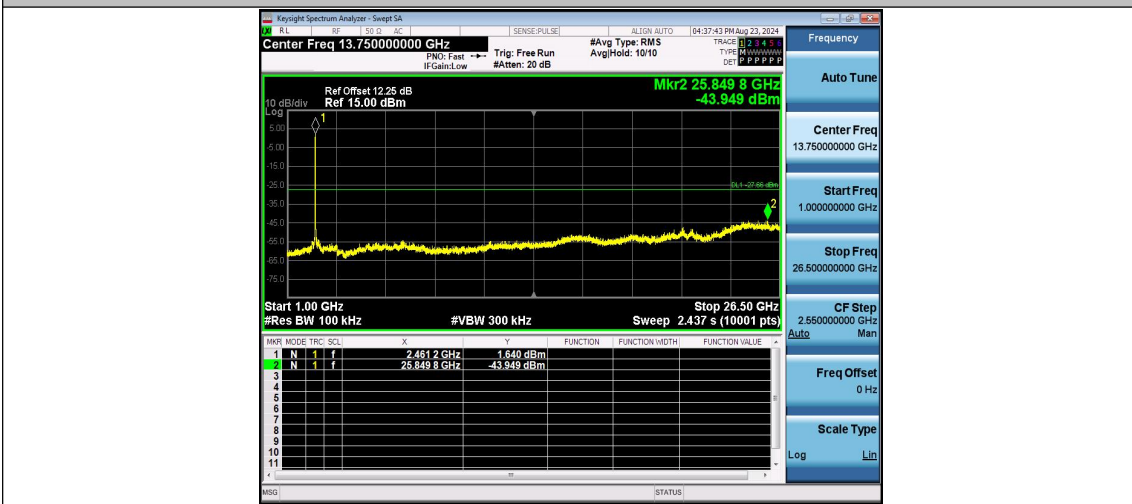




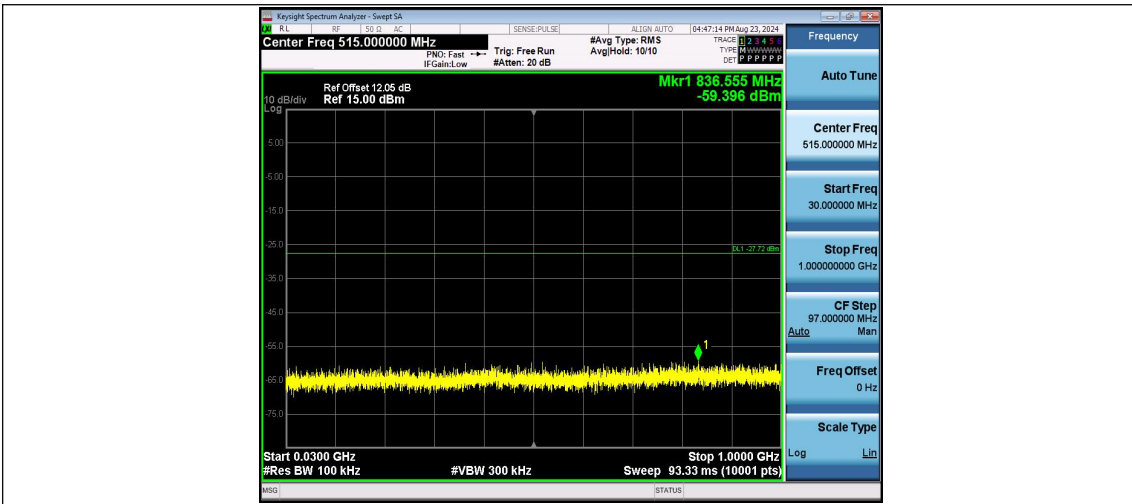
11G_Ant2_2462_30~1000



11G_Ant2_2462_1000~26500



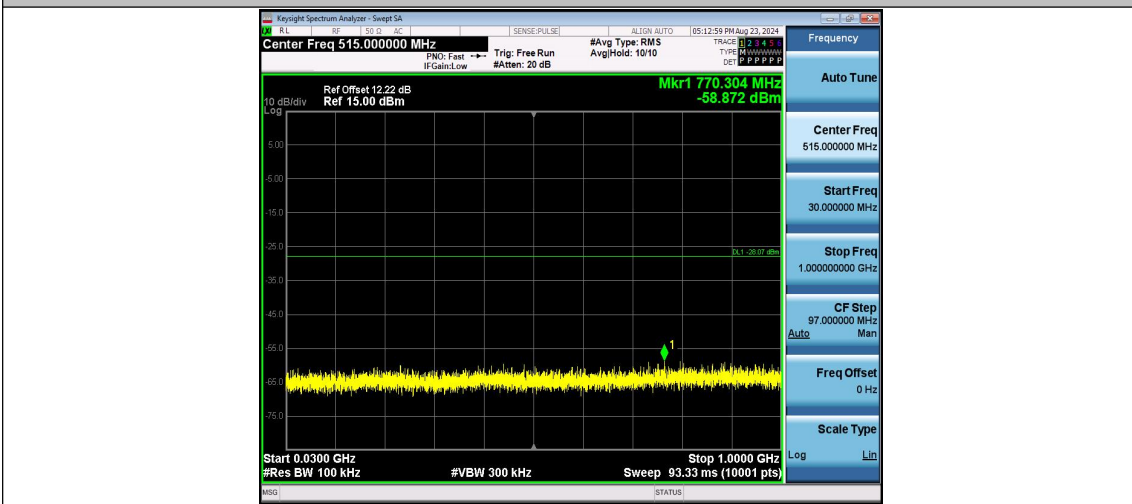
11N20MIMO_Ant1_2412_30~1000



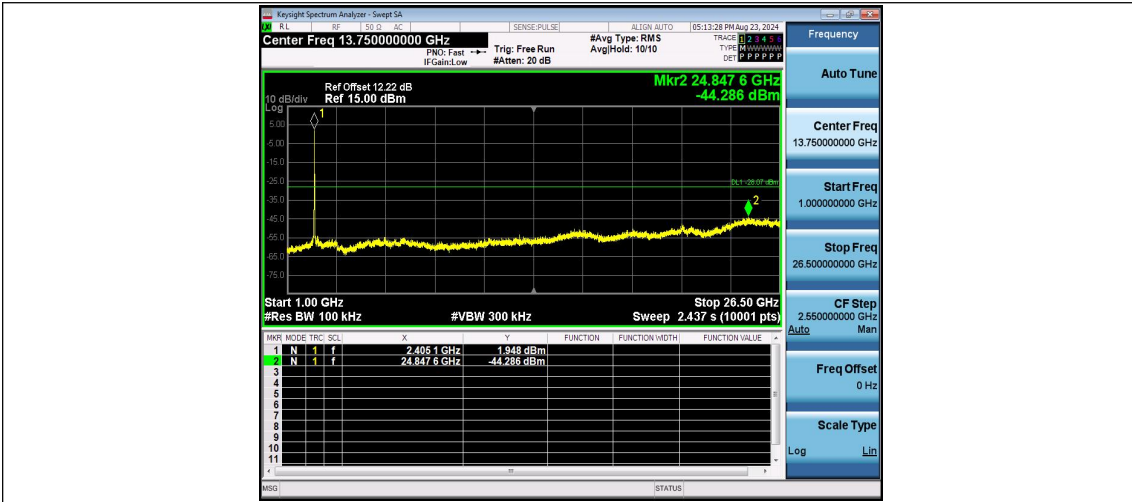
11N20MIMO_Ant1_2412_1000~26500



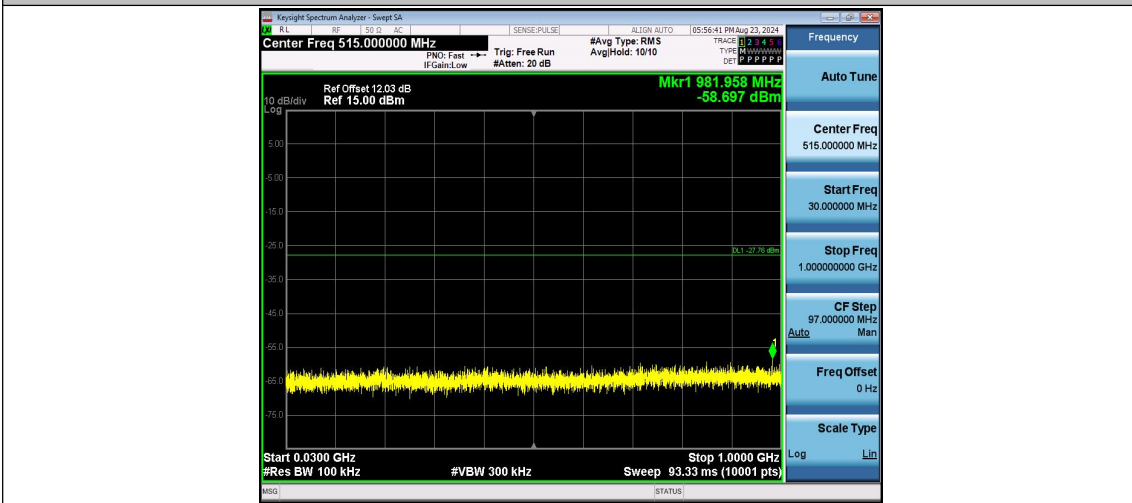
11N20MIMO_Ant2_2412_30~1000



11N20MIMO_Ant2_2412_1000~26500



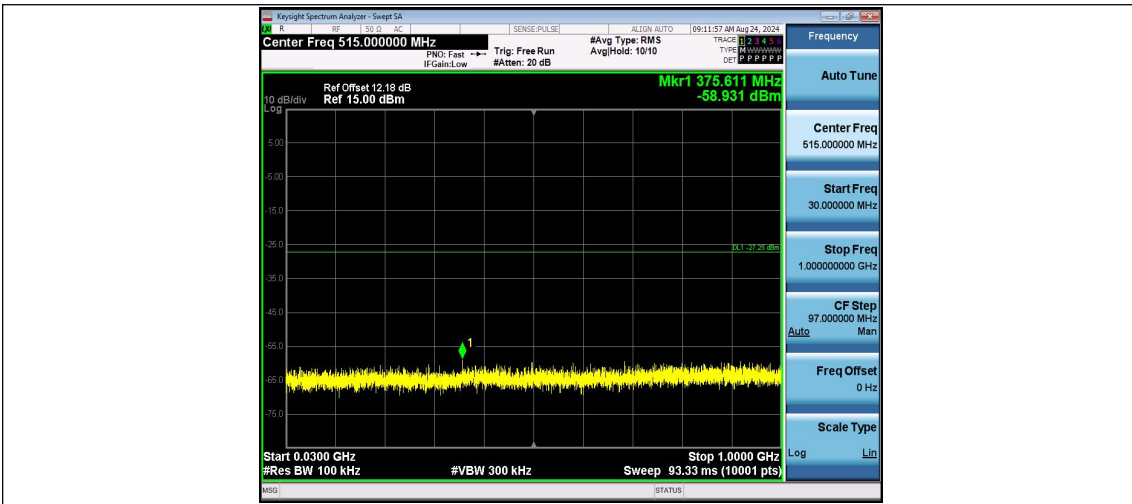
11N20MIMO_Ant1_2437_30~1000



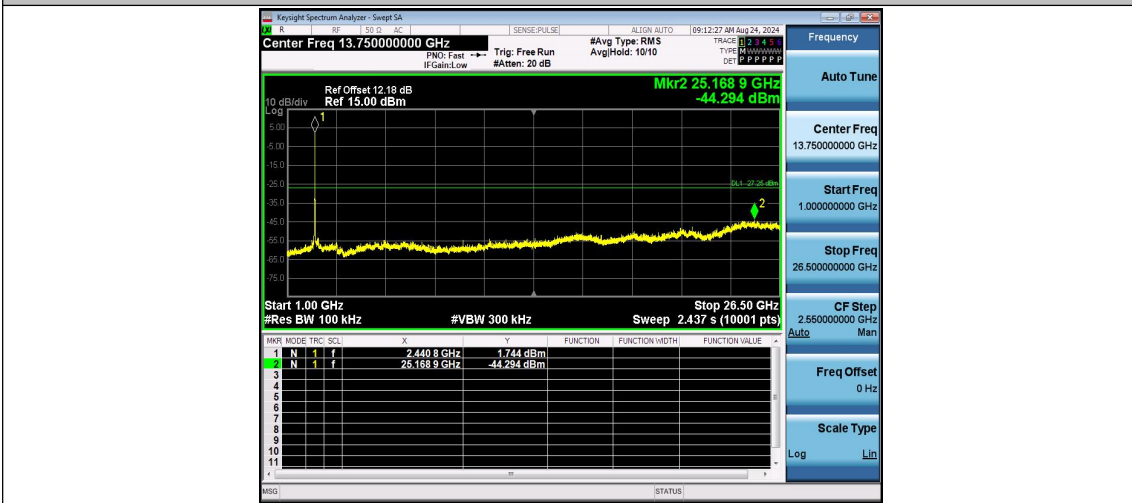
11N20MIMO_Ant1_2437_1000~26500



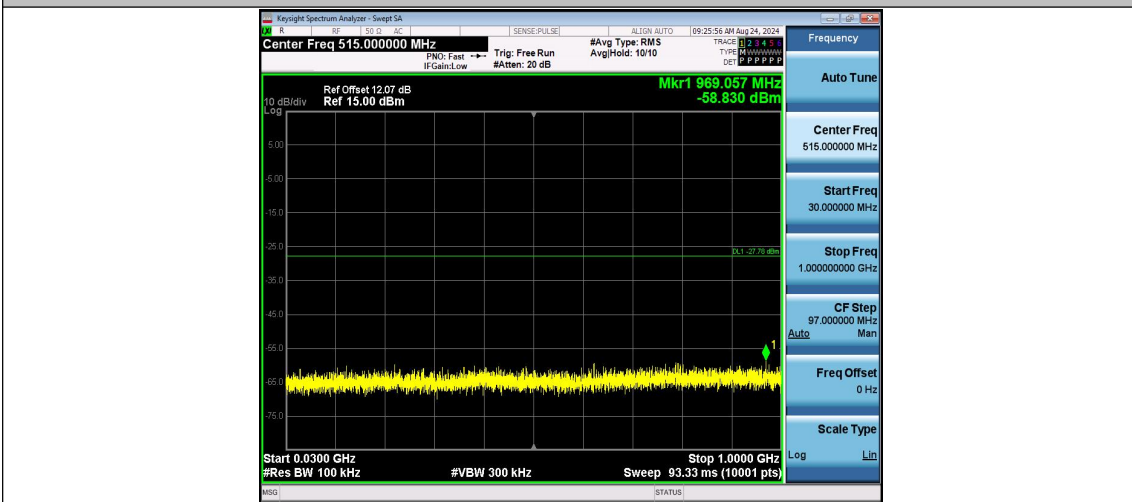
11N20MIMO_Ant2_2437_30~1000



11N20MIMO_Ant2_2437_1000~26500



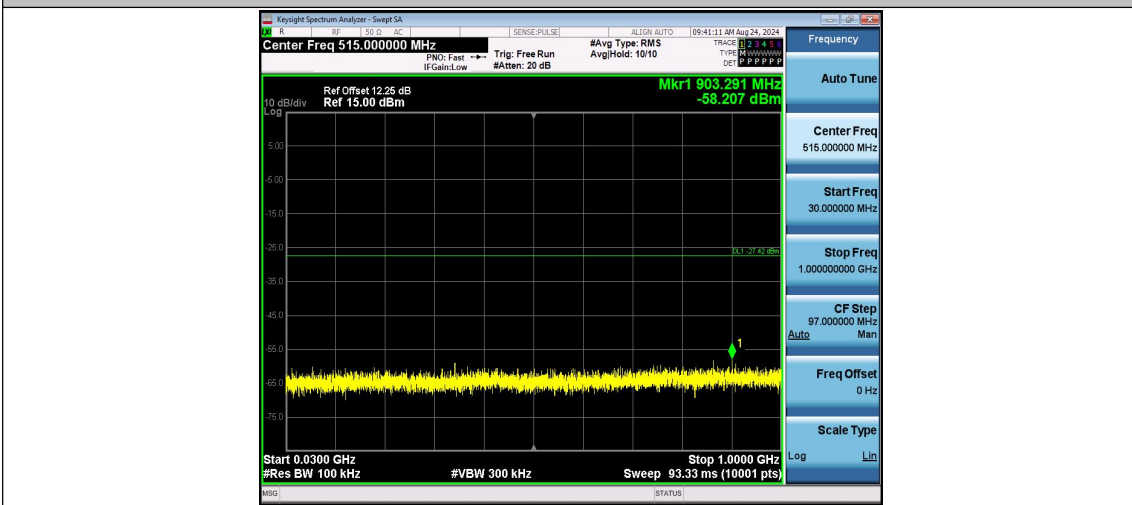
11N20MIMO_Ant1_2462_30~1000



11N20MIMO_Ant1_2462_1000~26500



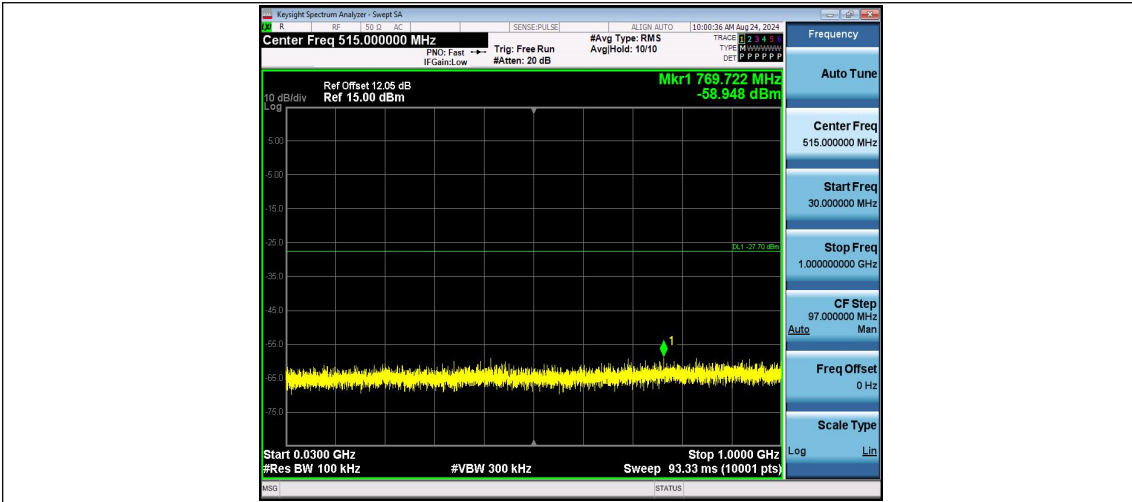
11N20MIMO_Ant2_2462_30~1000



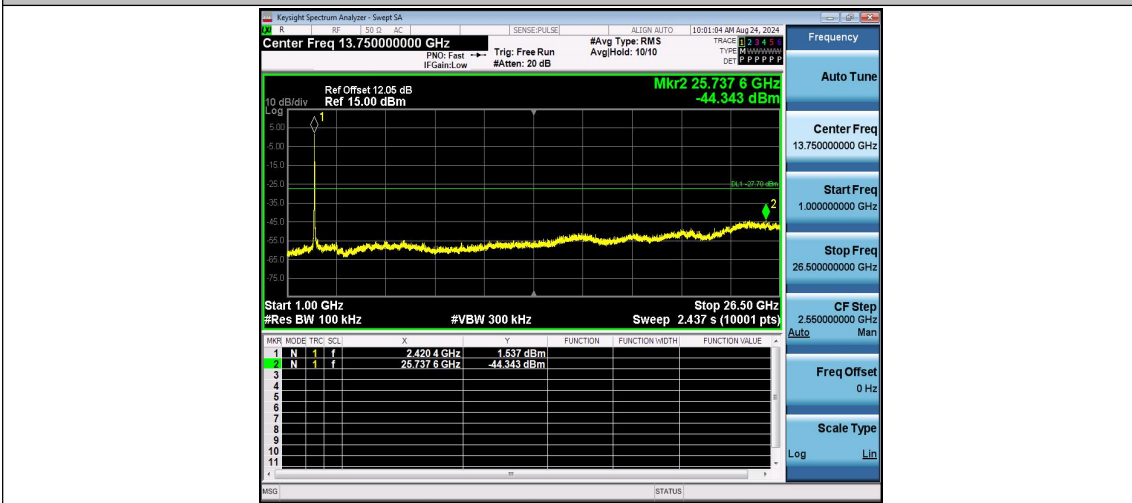
11N20MIMO_Ant2_2462_1000~26500



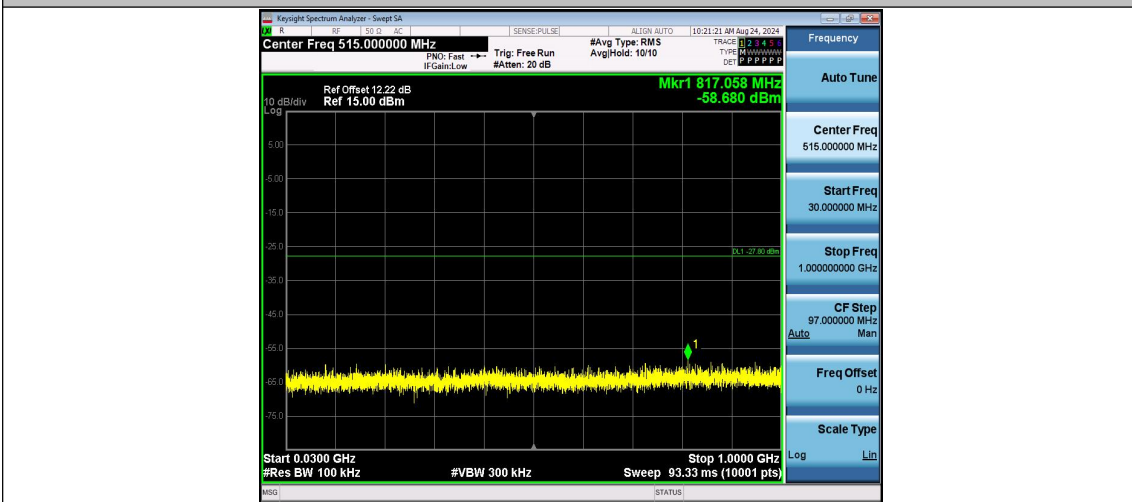
11AX20MIMO_Ant1_2412_30~1000



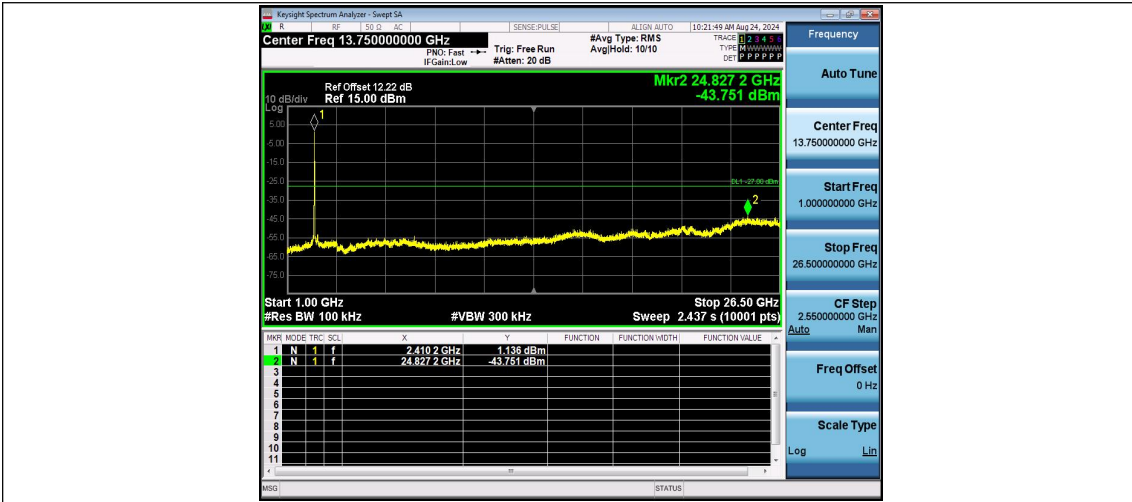
11AX20MIMO_Ant1_2412_1000~26500



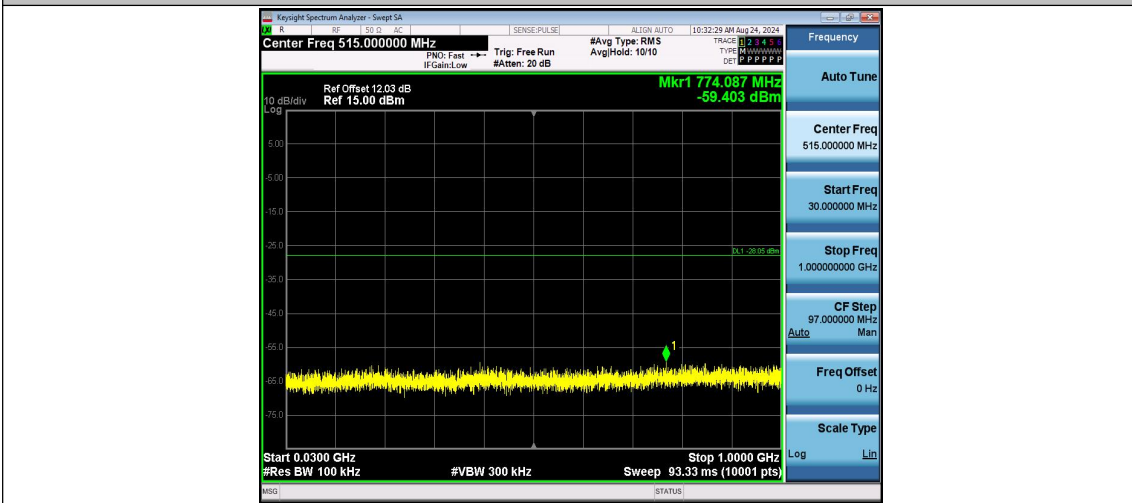
11AX20MIMO_Ant2_2412_30~1000



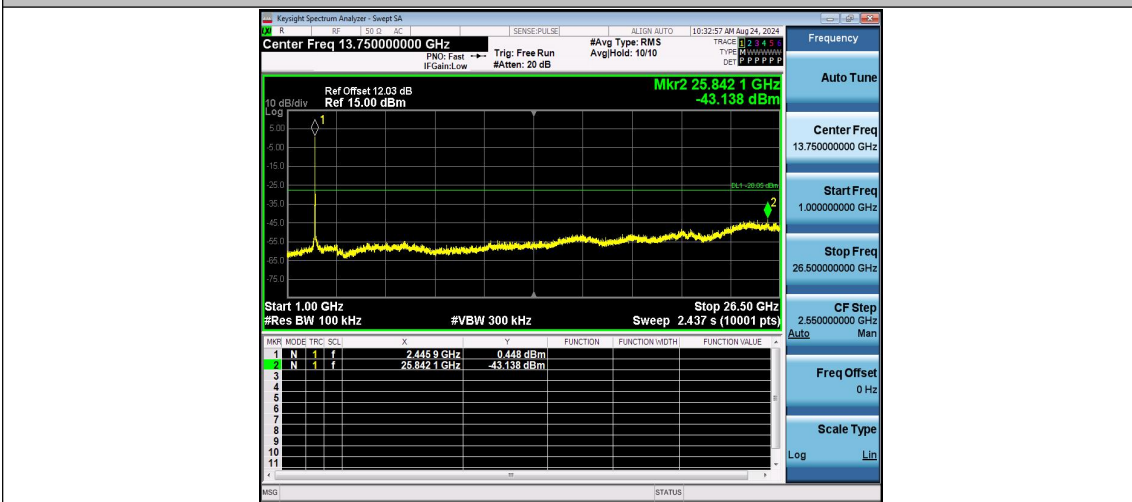
11AX20MIMO_Ant2_2412_1000~26500



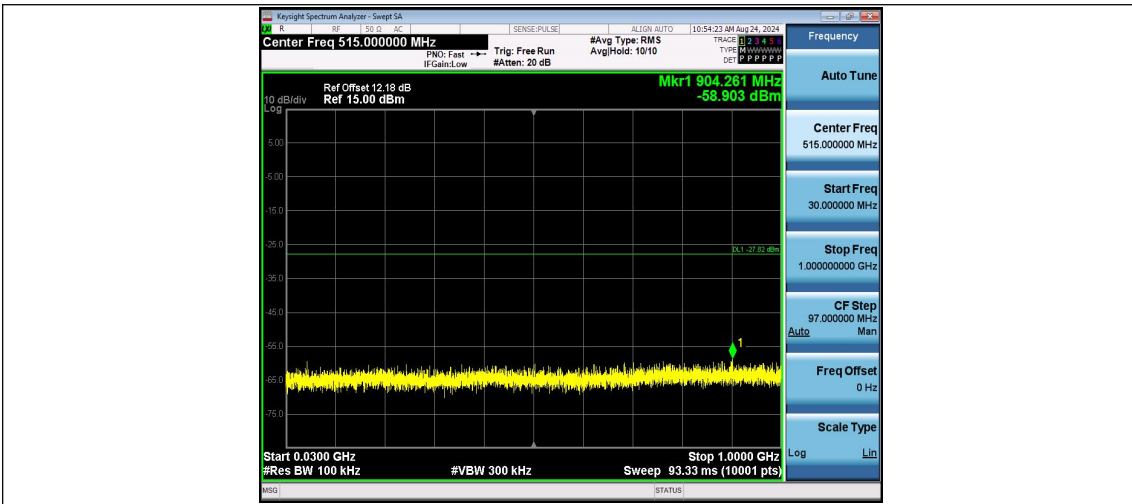
11AX20MIMO_Ant1_2437_30~1000



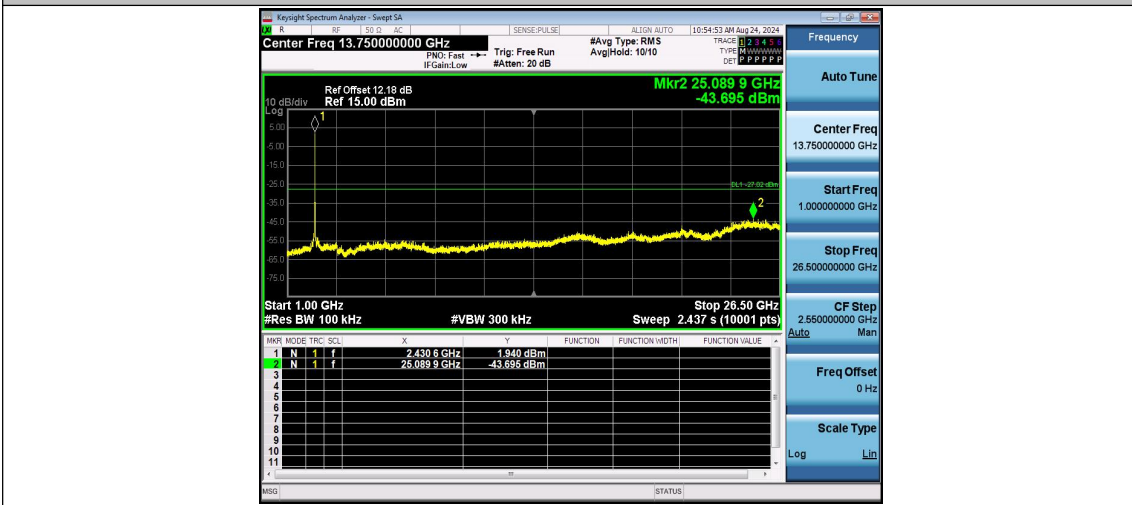
11AX20MIMO_Ant1_2437_1000~26500



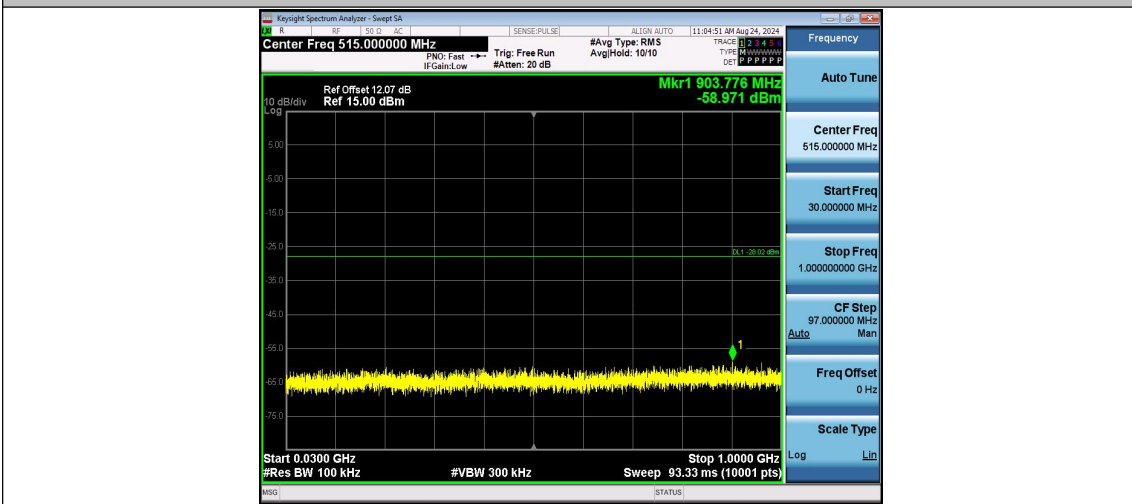
11AX20MIMO_Ant2_2437_30~1000



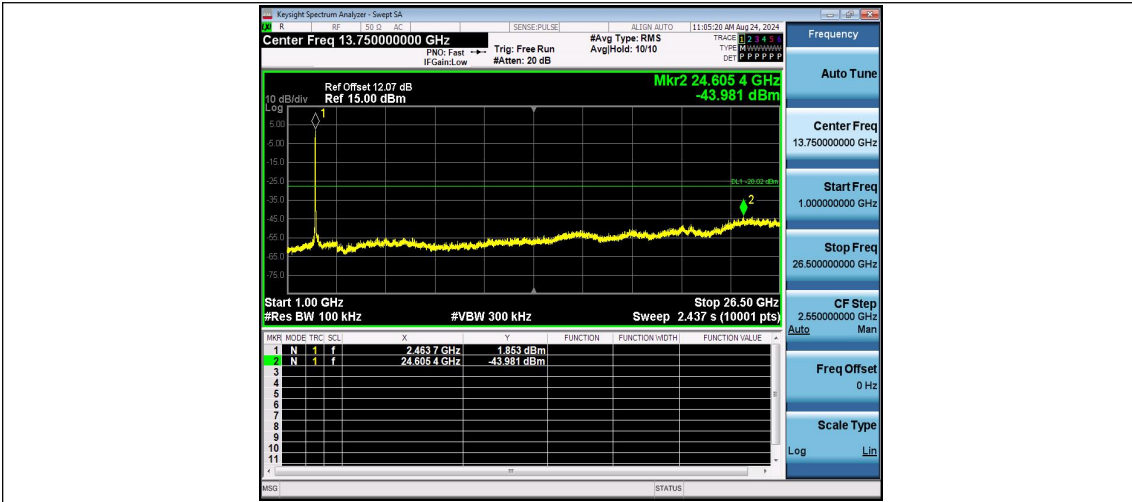
11AX20MIMO_Ant2_2437_1000~26500



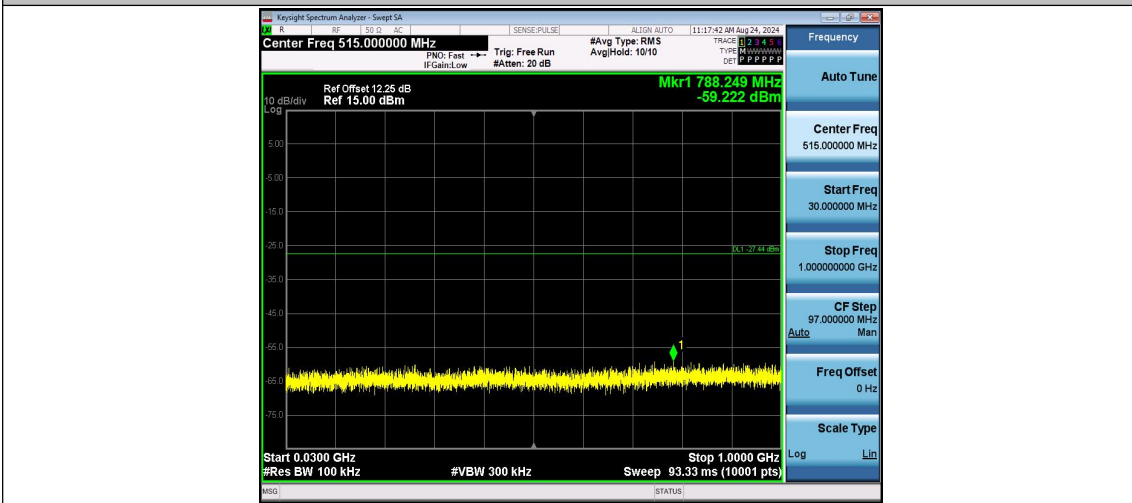
11AX20MIMO_Ant1_2462_30~1000



11AX20MIMO_Ant1_2462_1000~26500



11AX20MIMO_Ant2_2462_30~1000



11AX20MIMO_Ant2_2462_1000~26500

